

## УСТАНОВИВШИЕСЯ КОЛЕБАНИЯ ДВУХОПОРНОГО КОНСОЛЬНОГО РОТОРА С ПЕРЕКОСОМ И ДИСБАЛАНСОМ ДИСКА

*(Представлена академиком НАН РК Г. У. Уалиевым)*

**Введение.** Рассматриваются установившиеся колебания двухопорного консольного ротора с неуравновешенностью массы, перекосом диска и с демпфирующим стержнем, прилагаемым к валу возле верхней опоры. Геометрическая схема (рис. 1) типична для многих высокоскоростных турбомашин: паровых и газовых турбин, турбогенераторов, турбонасосных агрегатов, длинных цилиндрических веретен ткацких станков и других роторных машин; поэтому неудивительно, что она изучается уже давно. Построены [1] дифференциальные уравнения вынужденных колебаний двух опорного консольного ротора с дисбалансом массы и перекосом диска, аналитически найдены выражения амплитуды и фазы колебаний, путем решения характеристического уравнения исследованы влияния на устойчивость движения внутреннего и внешнего

трений. В работе [2] подробно изучалось совместное влияние двух дисбалансов связанных с перекосом диска и с эксцентриситетом массы на амплитуды и фазы колебаний; причем внешнее демпфирование введено в уравнения движения только для прогиба. Методика исследования действия двух обобщенных дисбалансов работы [2] использовалась в статье [3] для изучения тангажных колебаний вертикального гироскопического ротора с неуравновешенностью массы и перекосом диска. В настоящей работе для полного описания динамики двух опорного консольного ротора с двумя обобщенным дисбалансом внешнее демпфирование учитывалось во всех четырех уравнениях движения, благодаря чему имели возможность правильно построить амплитудно- и фазово-частотные характеристики ротора, исследовать влияния на них дисбаланса массы и

перекоса диска, консольности вала и внешнего демпфирования, сопоставить амплитуды колебаний на критических скоростях.

**Постановка задачи.** На рис. 1 показана геометрия ротора. На конце консольной части вала длиной  $a$  с изгибной жесткостью  $EI$  закреплен диск, имеющий массу  $m$ , полярный момент инерции  $I_p$  и экваториальный момент инерции  $I_T$ . Ротор вращается с угловой скоростью  $\omega$ , центр его масс смещен на небольшое расстояние  $e$  относительно точки  $S$  крепления диска к валу, а сам диск наклонен на небольшой угол  $\tau$  относительно плоскости, перпендикулярной оси вала. Линия максимального перекоса диска опережает вектор эксцентриситета массы на угол  $\beta$ . Расстояние между опорами  $l$ , в опоре возле консольного выступа, возникает внешнее сопротивление. Вал с подобным добавочным сопротивлением можно изобразить присутствием добавочного стержня, фиктивный коэффициент жесткости которого воспроизводит вязкое сопротивление  $\chi$  опоры повороту [1]. Используются две декартовы системы координат. Система  $Oxyz$  неподвижна в пространстве, причем оси  $x, y$  фиксируют положение точки  $S$ , а ось вращения  $z$  проходит через ось недеформированного вала. Углы отклонения вала в плоскостях  $x, z$  и  $y, z$  обозначим соответственно через  $\theta_x$  и  $\theta_y$ . Все перемещения в направлениях  $x$  и  $y$  полагаются малыми, а в направлении  $z$  пренебрегаем. Вторая система координат  $SXYZ$  связана с диском, причем  $Z$  есть полярная ось, а ось  $X$  проведена через вектор эксцентриситета массы.

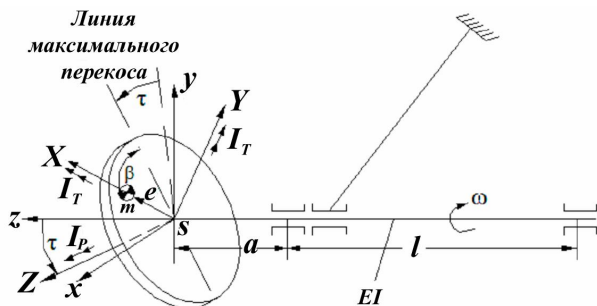


Рис. 1. Геометрия ротора

Уравнения движения ротора выводятся при помощи метода Лагранжа. Введя безразмерные величины в соответствии с формулами

$$\begin{aligned} \varepsilon &= e/a, \\ U &= (x + iy)/a, \\ \bar{t} &= t(2EI/ma^3)^{1/2}, \\ \bar{\Omega} &= \omega(ma^3/2EI)^{1/2}, \\ \bar{I}_p &= I_p/ma^2, \\ \bar{I}_T &= I_T/ma^2, \\ \bar{\chi} &= \chi(2EI/ma^3)^{1/2}, \end{aligned} \quad (1)$$

уравнения движения можно записать в безразмерном виде (переменные  $\theta = \theta_x + i\theta_y$  и  $\tau$  уже являются безразмерными):

$$U'' + \bar{\chi}(6c_1U' - 3c_2\theta') + 6c_1U - 3c_2\theta = \varepsilon\bar{\Omega}^2 e^{i\bar{\Omega}\bar{t}}, \quad (2)$$

$$\begin{aligned} \bar{I}_T\theta'' - i\bar{\Omega}\bar{I}_p\theta' + \bar{\chi}(-3c_2U' + 2c_3\theta') - 3c_2U + \\ + 2c_3\theta = (\bar{I}_p - \bar{I}_T)\tau\bar{\Omega}^2 e^{i(\bar{\Omega}\bar{t} + \beta)}. \end{aligned} \quad (3)$$

Здесь введены обозначения:  $c_1 = \frac{1 + 3a/l}{4 + 3a/l}$ ,

$$c_2 = \frac{2 + 3a/l}{4 + 3a/l}, \quad c_3 = \frac{3 + 3a/l}{4 + 3a/l} - \text{безразмерные}$$

постоянные, где  $a/l$  - относительный размер консольной части вала или "степень консольности". Штрихами обозначаются производные по безразмерному времени  $\bar{t}$ .

**Установившиеся колебания.** При установившейся круговой синхронной прецессии движение ротора происходит по закону

$$U = |A| e^{i(\bar{\Omega}\bar{t} - y)}, \quad \theta = |B| e^{i(\bar{\Omega}\bar{t} - \delta)}, \quad (4)$$

где  $|A|$  - амплитуда поперечного перемещения диска;  $\gamma$  - угол отставания по фазе этого перемещения от вектора эксцентриситета массы;  $|B|$  и  $\delta$  - аналогичные характеристики угла поворота (тангажа) диска.

Подставив (4) в (2) и (3) и введя действительные параметры:

$$H = \bar{I}_p - \bar{I}_T,$$

$$\begin{aligned} a_1 &= (H\bar{\Omega}^4 + 2c_3\bar{\Omega}^2)\varepsilon - (3\bar{\chi}c_2H\bar{\Omega}^3 \sin \beta)\tau + \\ &+ (3c_2H\bar{\Omega}^2 \cos \beta)\tau, \end{aligned}$$

$$\begin{aligned}
 a_2 &= (2\bar{\chi}c_3\Omega^3)\varepsilon + (3\bar{\chi}c_2H\Omega^3\cos\beta)\tau + \\
 &\quad + (3c_2H\Omega^2\sin\beta)\tau, \\
 b_1 &= (3c_2\Omega^2)\varepsilon + (-\Omega^2 + 6c_1)(H\Omega^2\cos\beta)\tau - \\
 &\quad - (6\bar{\chi}c_1H\Omega^3\sin\beta)\tau, \\
 b_2 &= (3\bar{\chi}c_2\Omega^3)\varepsilon + (-\Omega^2 + 6c_1)(H\Omega^2\sin\beta)\tau + \\
 &\quad + (6\bar{\chi}c_1H\Omega^3\cos\beta)\tau, \quad (5)
 \end{aligned}$$

$$\Delta_1 = -H\Omega^4 + (6c_1H - 2c_3)\Omega^2 + 12c_1c_3 - 9c_2^2,$$

$$\Delta_2 = \bar{\chi}(6c_1H - 2c_3)\Omega^3 + 2\bar{\chi}(12c_1c_3 - 9c_2^2)\Omega,$$

получим

$$\begin{aligned}
 |A| &= \left[ \frac{a_1^2 + a_2^2}{\Delta_1^2 + \Delta_2^2} \right]^{1/2}, \\
 \gamma &= \arctg \left[ \frac{a_1\Delta_2 - a_2\Delta_1}{a_1\Delta_1 + a_2\Delta_2} \right], \quad (6)
 \end{aligned}$$

$$\begin{aligned}
 |B| &= \left[ \frac{b_1^2 + b_2^2}{\Delta_1^2 + \Delta_2^2} \right]^{1/2}, \\
 \delta &= \arctg \left[ \frac{b_1\Delta_2 - b_2\Delta_1}{b_1\Delta_1 + b_2\Delta_2} \right]. \quad (7)
 \end{aligned}$$

Собственные частоты недемпфированной системы получаем из уравнения

$$\Delta_1 = -H\Omega^4 + (6c_1H - 2c_3)\Omega^2 + 12c_1c_3 - 9c_2^2 = 0, \quad (8)$$

разрешив его, найдем критическую скорость для тонкого диска при  $H > 0$

$$\begin{aligned}
 \Omega_{k1} &= \left\{ \left( 3c_1 - \frac{c_3}{H} \right) + \right. \\
 &\quad \left. + \left[ \left( 3c_1 - \frac{c_3}{H} \right)^2 + \left( \frac{12c_1c_3 - 9c_2^2}{H} \right) \right]^{1/2} \right\}^{1/2} \quad (9)
 \end{aligned}$$

и критические скорости для толстого диска при ( $H < 0$ )

$$\Omega_{k1,k2} = \left\{ \left( 3c_1 - \frac{c_3}{H} \right) \mp \right.$$

$$\left. \left[ \left( 3c_1 - \frac{c_3}{H} \right)^2 + \left( \frac{12c_1c_3 - 9c_2^2}{H} \right) \right]^{1/2} \right\}^{1/2}. \quad (10)$$

При равенстве  $c_1 = c_2 = c_3 = 1$  формулы (9) и (10) принимают форму выражений критических скоростей одноопорного консольного ротора [2]. В качестве примера рассмотрим тонкий диск.

Графики зависимости  $\Omega_{k1}$  от  $H$  имеет вид, представленный в работе [2] и показывает возрастание критической скорости по мере роста значений  $H$ . График приведенный на рис. 2 также показывает увеличение критической скорости с ростом длины консольного участка вала ротора.

При численных расчетах для некоторых типичных вариантов геометрии ротора использованы следующие безразмерные параметры: эксцентриситет массы и угол перекося диска приняты равными  $\varepsilon=0,01$  и  $\tau=0,02$ , коэффициент внешнего демпфирования и степень консольности заданы равными  $\bar{\chi}=0,01$  и  $a/l=0,5$ . На рис. 3 и 4 приведены графики амплитуды и фазы поперечного перемещения и угла поворота тонкого диска с  $H=+0,2$ .

Анализ графиков на рис. 3 и 4 показывает, что влияние перекося может приводить либо к увеличению, либо к уменьшению амплитуды колебаний линейных и угловых перемещений. При  $\beta=0^\circ$  линия максимального перекося и линия вектора эксцентриситета массы совпадают, и активный гироскопический момент приводит к усилению эффекта изгиба ротора под действием поперечной центробежной силы. Амплитуды колебаний в этом случае будут наибольшими. При  $\beta=180^\circ$  гироскопический момент изгибает ротор в направлении противоположной центробежной силе; амплитуды колебаний оказываются наименьшими. При  $\beta=\pm 90^\circ$  возмущающие воздействия перпендикулярны друг другу, и получаем промежуточные значения амплитуд линейных и угловых перемещений. В области больших значений  $\Omega$  кривые амплитуд колебаний начатые с

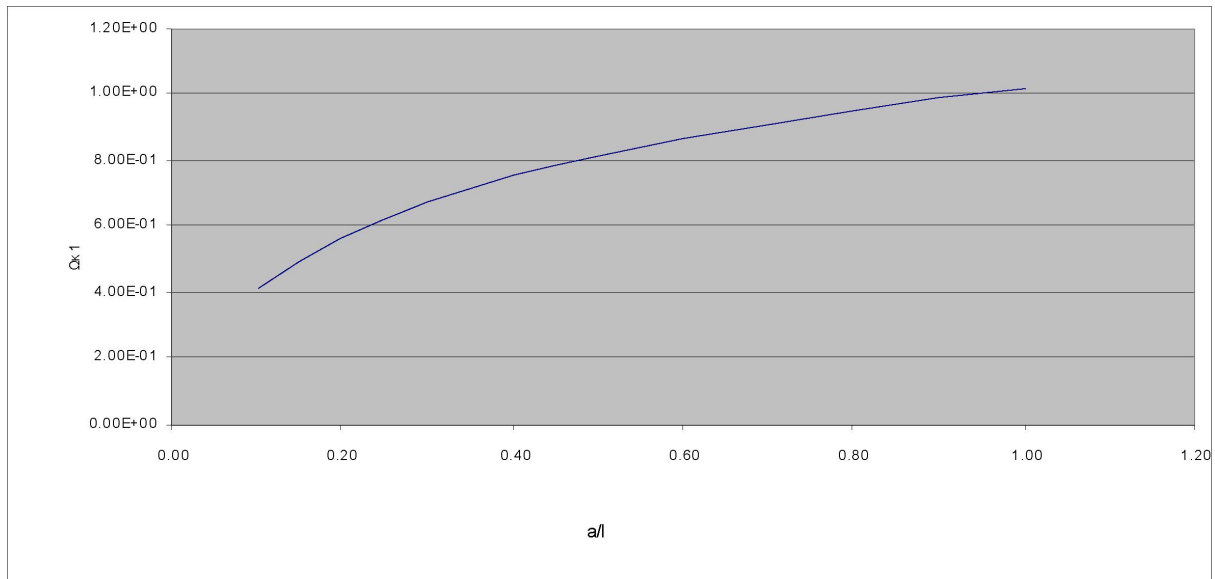


Рис. 2. Тонкий диск :  $H=+0.2$ . Зависимость критической скорости от степени консольности

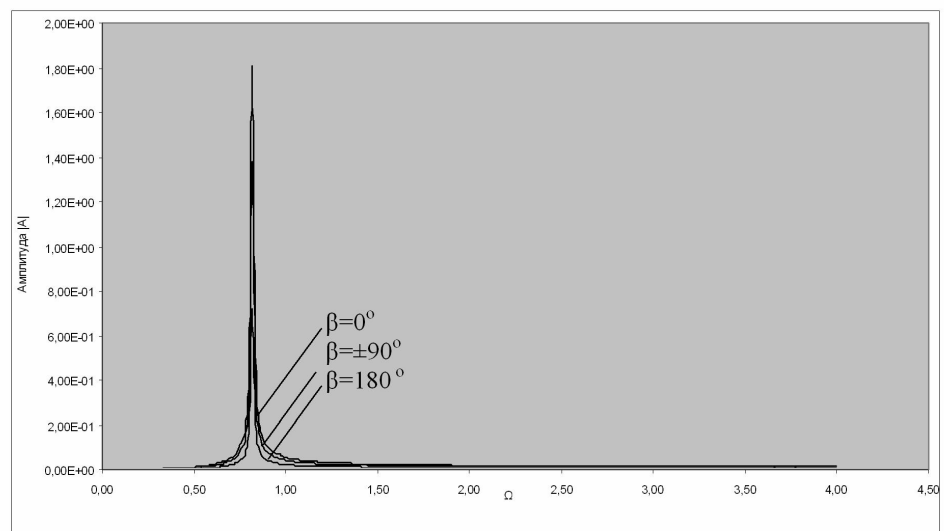
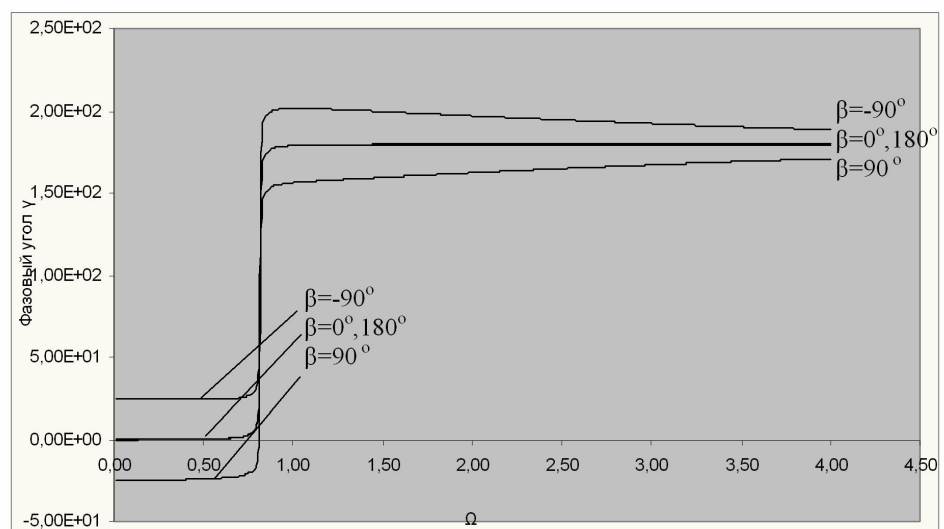
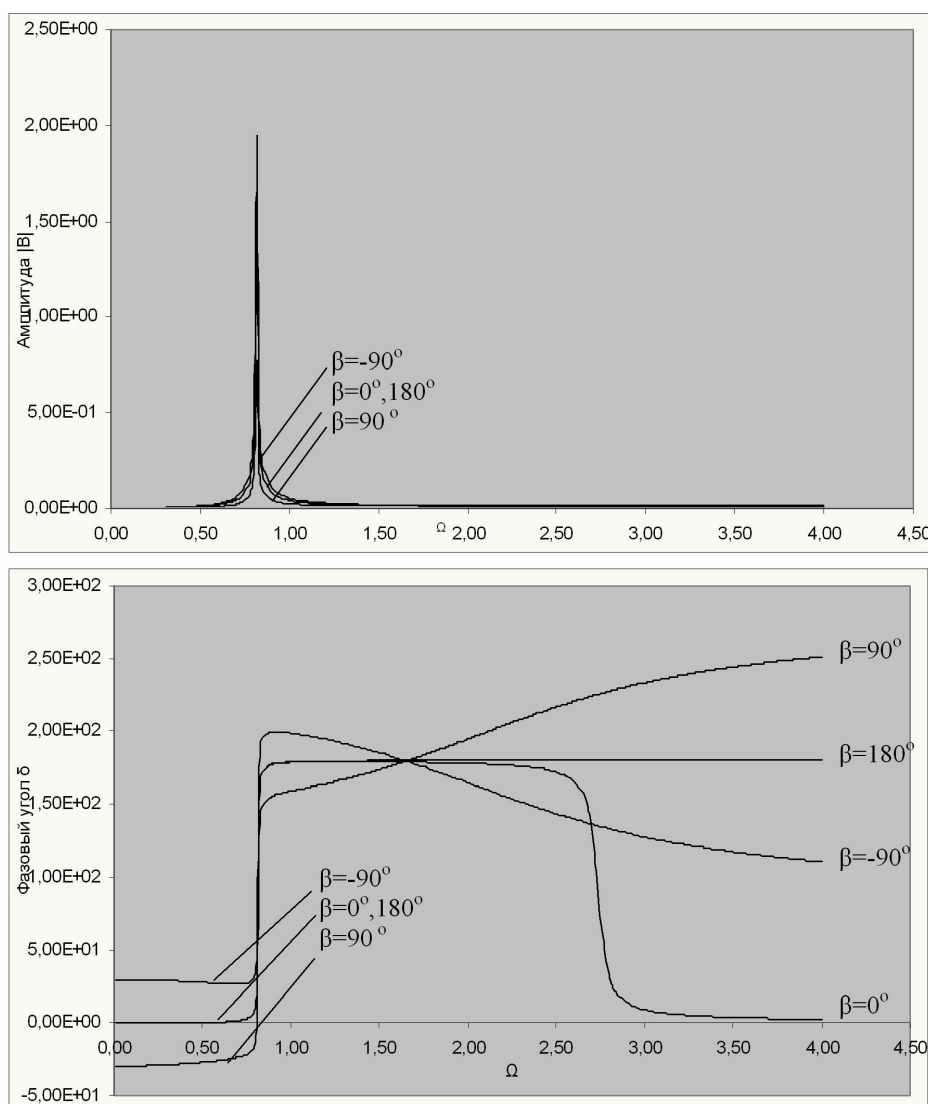


Рис. 3. Тонкий диск:  
 $H = +0.2$ ;  $a/l = 0.5$ ;  $\varepsilon = 0.01$ ;  
 $\tau = 0.02$ ;  $\chi = 0.01$ .  
 Амплитуды и фазы  
 линейного перемещения





**Рис. 4.** Тонкий диск:  
 $H = +0.2$ ;  $a/l = 0.5$ ;  $\varepsilon = 0.01$ ;  
 $\tau = 0.02$ ;  $\chi = 0.01$ .  
 Амплитуды и фазы  
 углового перемещения

нулевого значения выходят на асимптотические уровни.

Более важные эффекты наблюдаются на кривых углов фазового сдвига  $\gamma$  и  $\delta$ . При малых частотах вращения прецессирующий ротор не обязательно находится в одной фазе с линией эксцентриситета массы. При условии взаимной ортогональности двух дисбалансов, связанных с неуравновешенностью массы и с перекосом, т.е. при  $\beta = \pm 90^\circ$ , получим остаточные фазовые углы. Для условий совпадения линий двух дисбалансов, т.е. при  $\beta = 0^\circ$  и  $\beta = 180^\circ$  никакого остаточного фазового сдвига обнаружено не было. На высоких частотах вращения все кривые фазы поперечного перемещения тонкого диска асимптотически стремятся к обычному предельному значению, равному  $180^\circ$ , а для угла поворота асимптотами

угла фазового сдвига оказываются такими, что  $\delta \rightarrow -\beta$ . Полученные результаты оказываются чрезвычайно важными для практики. Например, при балансировке ротора для выявления линии эксцентриситета массы часто используют результаты измерений угла фазового сдвига  $\gamma$  на малых частотах вращения. Проектировщики должны сопоставлять результаты измерений фаз на низких и высоких скоростях вращения, для того чтобы по степени отличия разности фаз от значения  $180^\circ$  судить о степени влияния перекоса диска.

Из графиков зависимостей амплитуды поперечного перемещения ротора от степени консольности и внешнего демпфирования (рис. 5, 6) видно уменьшение амплитуды колебаний с ростом длины консольного участка вала и коэффициента

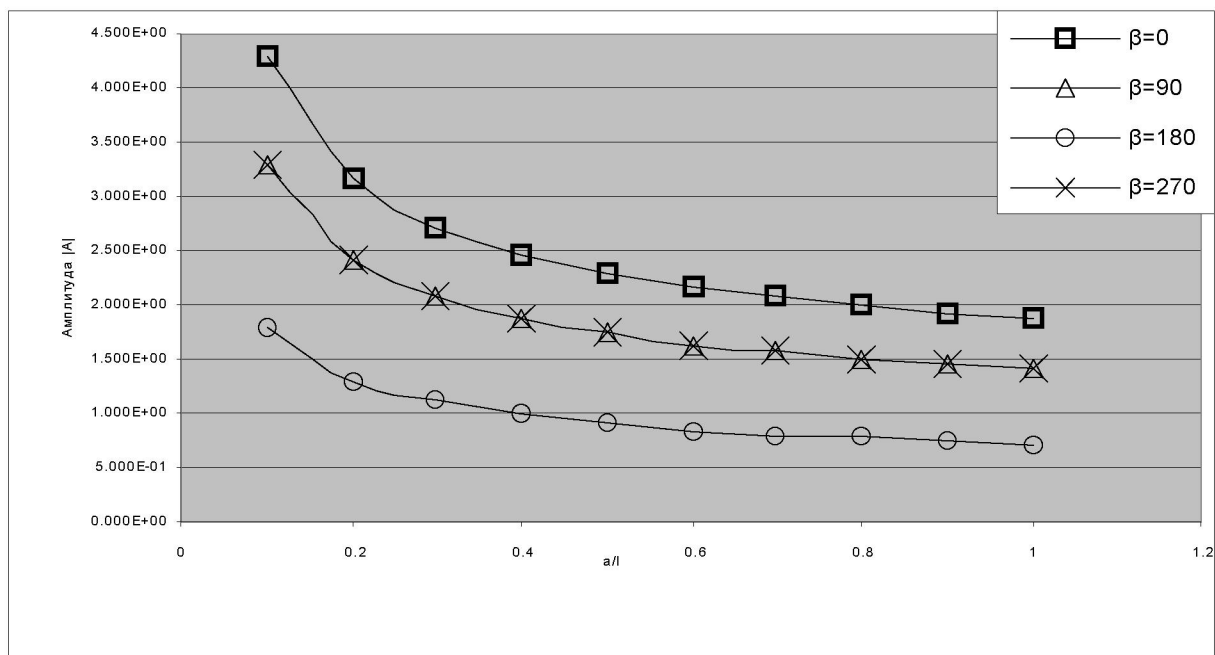


Рис. 5. Тонкий диск:  $H = +0.2$ ;  $\varepsilon = 0.01$ ;  $\tau = 0.02$ ;  $\chi = 0.01$ . Зависимости амплитуды линейного перемещения около критической скорости от степени консольности

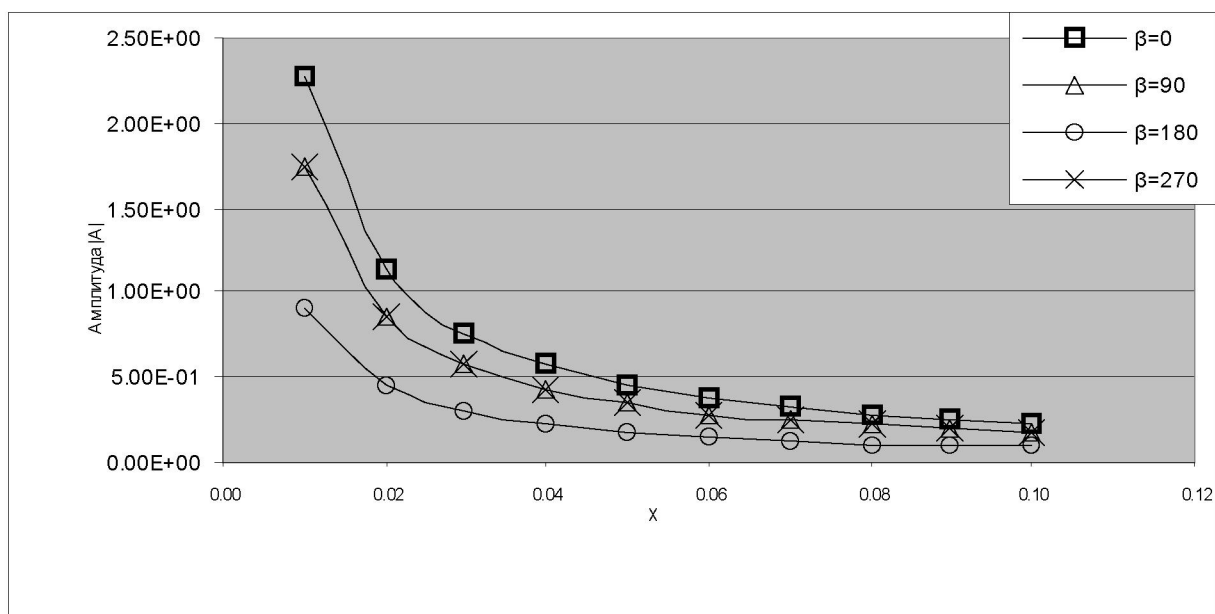


Рис. 6. Тонкий диск:  $H = +0.2$ ;  $\varepsilon = 0.01$ ;  $\tau = 0.02$ ;  $a/l = 0.5$ . Зависимости амплитуды прогиба около критической скорости от коэффициента внешнего демпфирования

демпфирования. Амплитуда угла поворота также имеет сходные зависимости около критической скорости.

**Заключение.** Исследованы установившиеся колебания двух опорного консольного ротора с дисбалансом массы и перекосом диска. Составлены дифференциальные уравнения движения с учетом внешнего демпфирования, которые позволили правильно описать амплитудно- и фазово-частотные характеристики ротора, оценить влияние на них совместных обобщенных дисбалансов, относительного размера консольного участка вала и коэффициента внешнего демпфирования. Определены критические скорости для роторов с тонким и толстым дисками и амплитуды на них, которые затем сравниваются. Данная модель ротора является более обобщенной по сравнению с ранее рассмотренными и ее легко распространить на другие виды роторов.

#### ЛИТЕРАТУРА

1. Диментберг Ф.М. Изгибные колебания вращающихся валов. М.: Изд. АН СССР, 1959. 248 с.
2. Бенсон. Установившиеся колебания консольного ротора с перекосом и дисбалансом диска // Конструирование и технология машиностроения. 1983. Т. 105, №4. С. 35-40.
3. Искаков Ж, Тулешов А. Тангажные колебания вертикального гироскопического ротора с перекосом и дисбалансом диска // Состояние и перспективы развития механики и машиностроения в Казахстане. Материалы Международной научной конференции. Алматы, 2007. С. 141-147.

#### Резюме

Массасының дисбалансы дискісінің білікке қатысты еңкіштігі бар қос тіректі консольдық ротордың орнықты тербелісі зерттелген.

#### Summary

Нече are the researches of the vibration of the double-based rotor with mass disbalance and wrong disk.

Кызылординский государственный  
университет им. Коркыт Ата,  
г. Кызылорда

Поступила 2.03.08г.